



Servicio
Meteorológico
Nacional
Argentina

EL FENÓMENO EL NIÑO – OSCILACIÓN DEL SUR (ENOS)

ESTADO ACTUAL: CONDICIONES NEUTRALES

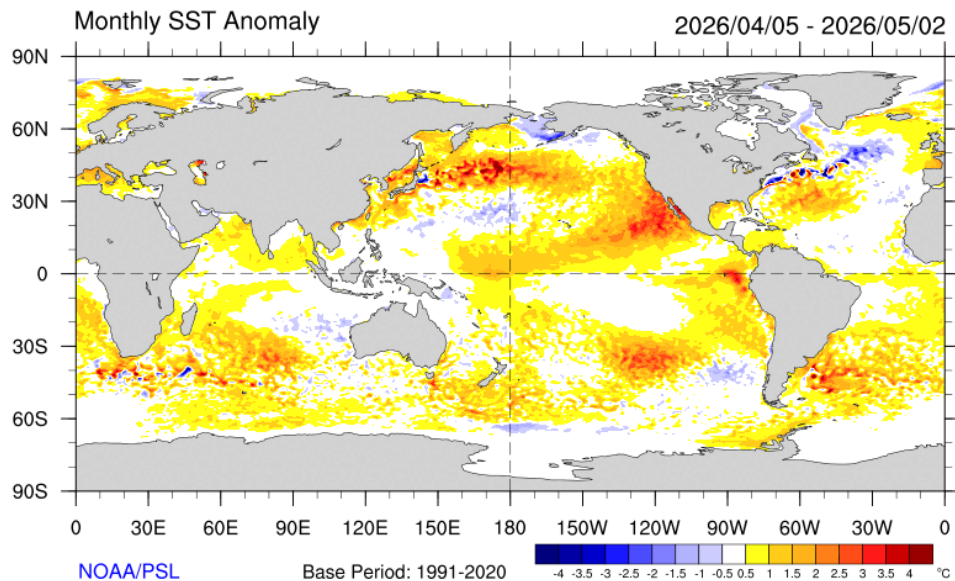
Actualizado: 04 de mayo de 2026

RESUMEN

Las condiciones del ENOS son consistentes con condiciones neutrales. Las anomalías de la temperatura del agua del mar (TSM) en el océano Pacífico ecuatorial muestran un calentamiento cerca de la costa sudamericana y al oeste de la línea de fecha (180°). Los vientos alisios en el océano Pacífico estuvieron debilitados en gran parte de la región. El índice de Oscilación del Sur (IOS) mensual cambió a valores negativos.

De acuerdo a los modelos dinámicos y estadísticos, en promedio, **en el trimestre mayo-junio-julio 2026 existe alrededor de un 60% de chances de desarrollo de una fase cálida o El Niño**

TEMPERATURA DE AGUA DE MAR (TSM) - PROMEDIO MENSUAL



Durante el mes de abril, la temperatura del agua del mar en el océano Pacífico ecuatorial (Figura 1) tuvo un calentamiento en la mayor parte de la región. Quedaron anomalías positivas al oeste de la línea de fecha (180°) y entre 100°O y la costa sudamericana.

Figura 1: Anomalías de la temperatura superficial del mar del 05 de abril al 02 de mayo de 2026. Período de referencia 1981-2010 - Fuente: NOAA-NCEP/CPC

TSM –EVOLUCIÓN SEMANAL POR REGIONES

Desde julio de 2025 las TSM mostraron un enfriamiento sostenido en la mayoría de las regiones Niño (Figuras 2 y 3), asociado al desarrollo de la fase fría o La Niña. Desde diciembre 2025/enero 2026 este enfriamiento comenzó a debilitarse gradualmente.

Al igual que en los meses previos, en abril la mayoría de las regiones Niño tuvieron un calentamiento, quedando todas con anomalías positivas. La siguiente tabla muestra las anomalías en la semana que terminó el 03 de mayo de 2026:

Niño 4	+0.5 °C
Niño 3.4	+0.4 °C
Niño 3	+0.5 °C
Niño 1+2	+0.7°C

Tabla: anomalías de TSM por regiones Niño - Fuente: IRI

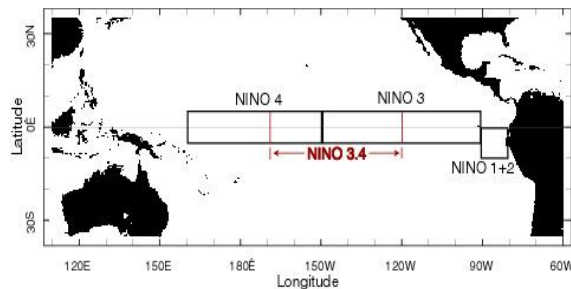


Figura 2: Regiones Niño - Fuente: IRI

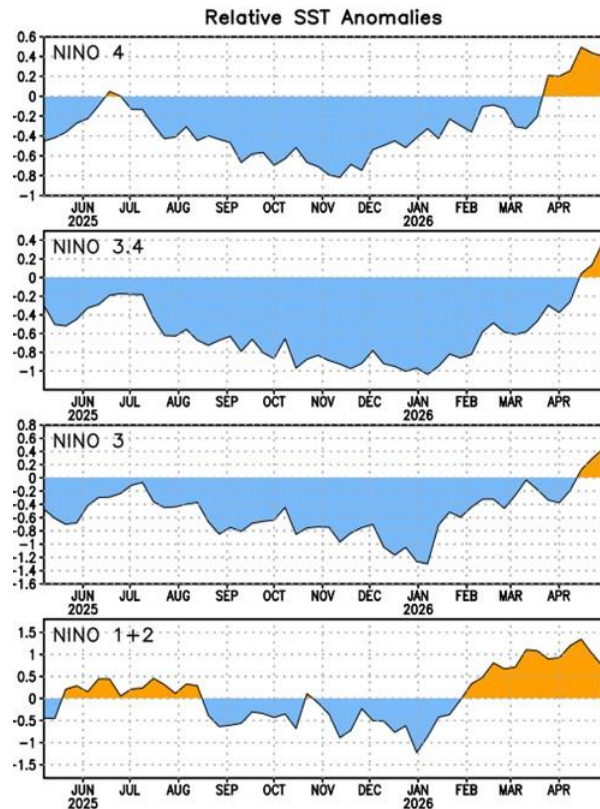


Figura 3: Evolución semanal de la anomalía de TSM en las Regiones Niño - Fuente: Climate Prediction Center (CPC)-NOAA

TSM-SUBSUPERFICIAL

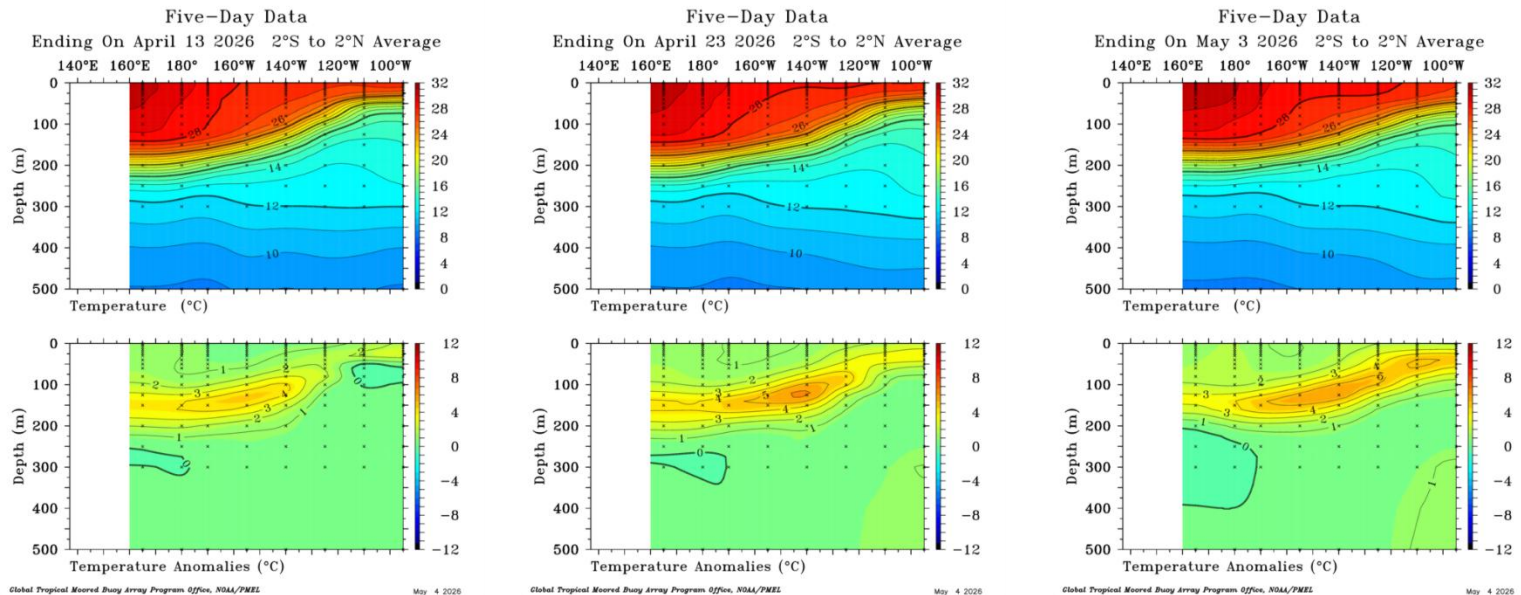
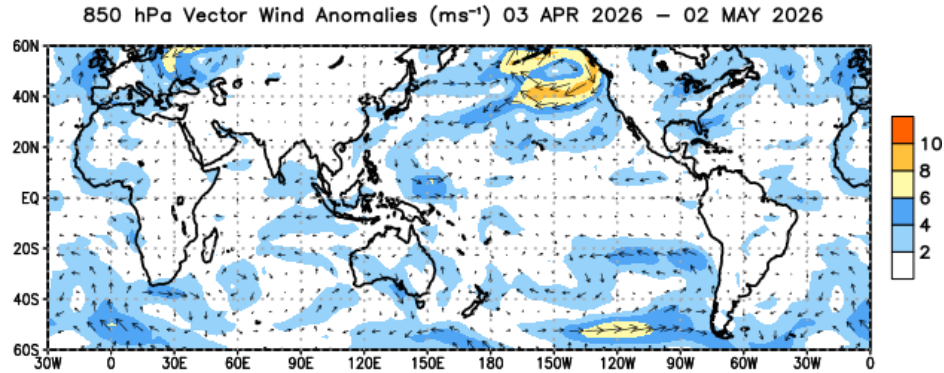


Figura 4 – Corte profundidad vs. longitud de la temperatura del agua del mar y su anomalía en el Pacífico ecuatorial, correspondiente al promedio pentádico que termina el 13 de abril (izquierda), el 23 de abril (centro) y el 3 de mayo de 2026 (derecha). Fuente: Pacific Maritime Environmental Laboratory (PMEL)-NOAA

Durante abril en los niveles sub-superficiales del Pacífico ecuatorial, se observaron temperaturas superiores a las normales en la mayor parte de la región (Figura 4). A mediados de abril el núcleo de máximo calentamiento se encontraba entre 100 y 150 m de profundidad, aproximadamente, y hacia finales del mes se propagó hacia el este y hacia superficie.

VIENTOS ALISIOS



Data Source: NCEP/CORe – Climatology (1991–2020)
(Wind speed $> 2 \text{ ms}^{-1}$ shaded)

Figura 5 – Anomalías de viento zonal en 850 hPa, promediado del 03 de abril al 02 de mayo de 2026 - Fuente: Climate Prediction Center (CPC)-NOAA

Durante abril las anomalías del viento zonal en 850 hPa en el océano Pacífico ecuatorial mostraron, en promedio, alisios debilitados (anomalías positivas) entre 140°O y 140°E (Figuras 5 y 6). Alisios debilitados (anomalías negativas) se observaron, en promedio, al oeste de 140°E y al este de 120°O .

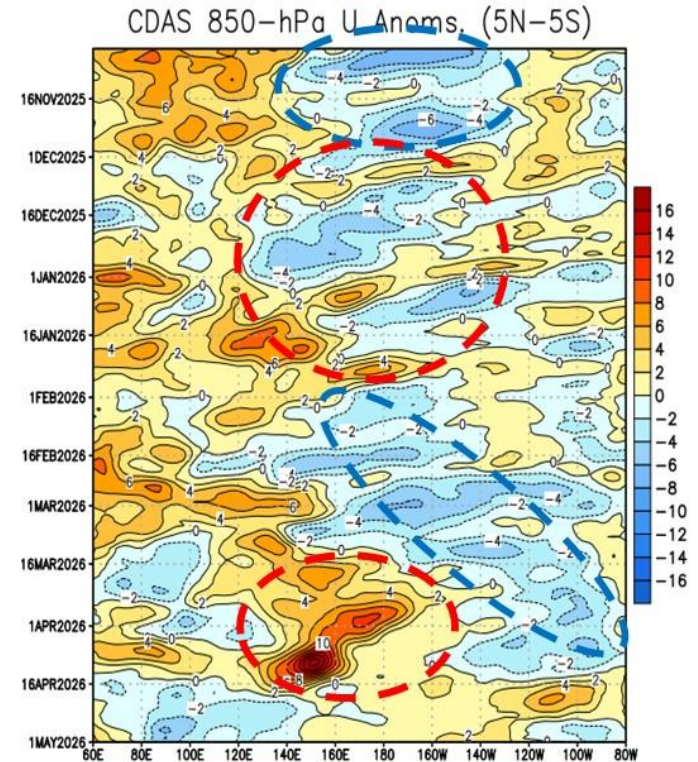


Figura 6 – Anomalías de viento zonal promediado en la región $5^{\circ}\text{S}-5^{\circ}\text{N}$ del 01 de noviembre de 2025 al 03 de mayo de 2026 - Fuente: Climate Prediction Center (CPC)-NOAA

CONVECCIÓN

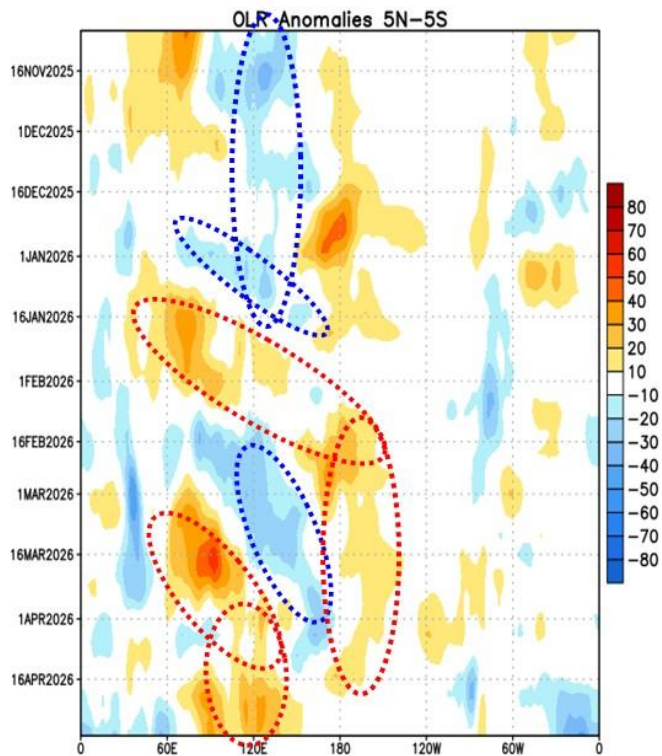


Figura 7 – Anomalías de radiación de onda larga saliente (OLR) promedio en la región 5°S-5°N, del 01 de noviembre de 2025 al 3 de mayo de 2026 - Fuente: Climate Prediction Center (CPC)-NOAA

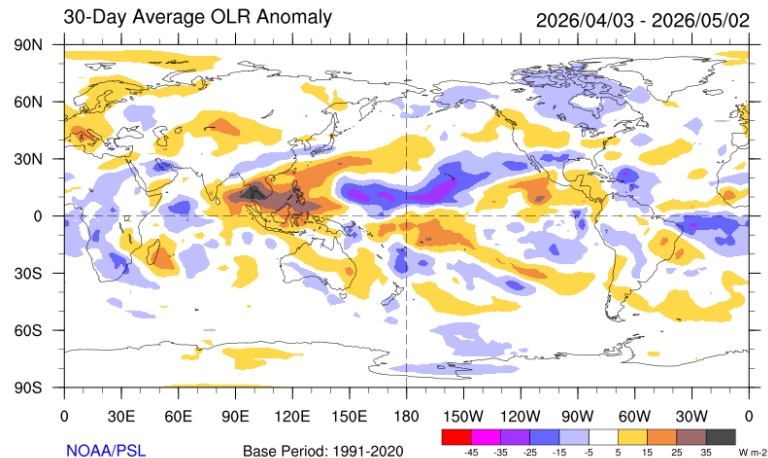


Figura 8 – Promedio de anomalías de radiación de onda larga saliente (OLR) del 03 de abril al 02 de mayo de 2026 - Fuente: NOAA-CIRES/CDC

Durante abril la actividad convectiva en el océano Pacífico ecuatorial fue inferior a la normal alrededor de la línea de fecha y en la región de Indonesia. Mayor convección se observó cerca de la costa sudamericana (Figuras 7 y 8 – Los valores negativos (positivos) de OLR están asociados a mayor (menor) actividad convectiva).

IOS-ÍNDICE DE OSCILACIÓN DEL SUR – ÍNDICE OCEÁNICO DE EL NIÑO

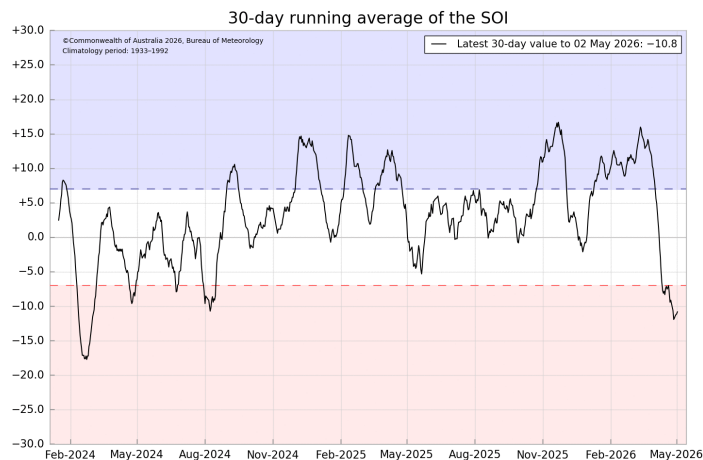


Figura 9 – Índice de oscilación del sur: promedio móvil de 30 días (Fuente: Bureau of Meteorology (BOM))

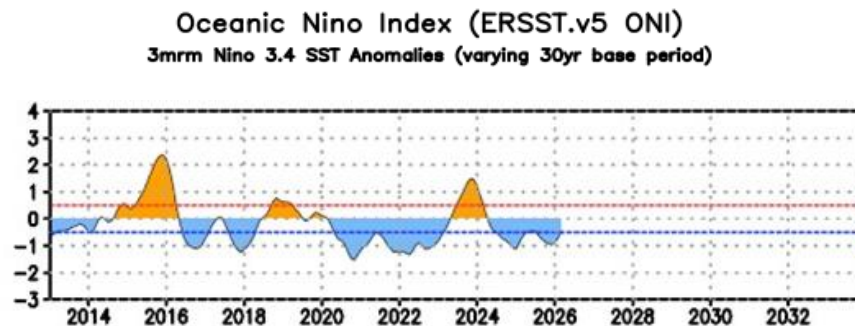


Figura 10 – Índice Oceánico de El Niño (Fuente: Climate Prediction Center (CPC)-NOAA)

El Índice de Oscilación del Sur (IOS) como promedio móvil de 30 días tuvo una disminución abrupta, quedando con valores negativos (Figura 9). El último valor disponible, que termina el 02 de mayo, es de +10.8

En cuanto al Índice Oceánico de El Niño Relativo (RONI, por sus siglas en inglés) en el trimestre febrero-marzo-abril 2026 tuvo un valor de -0.5°C (Figura 10).

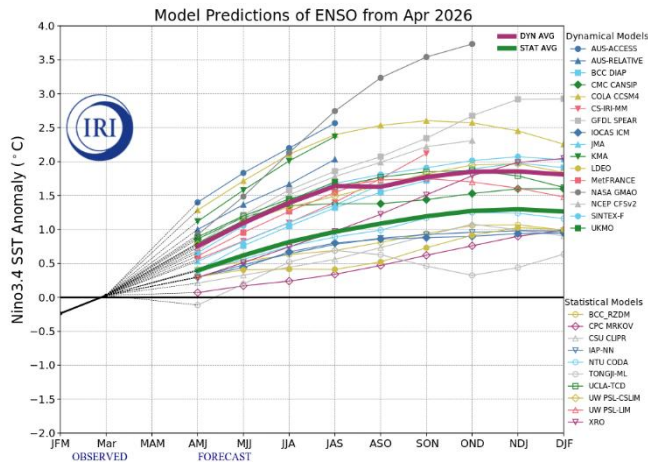


Figura 11 – Pronóstico de anomalías de TSM en la región Niño 3.4. Fuente: IRI.

Los pronósticos computacionales en la región Niño 3.4 prevén en promedio, TSM superiores a sus valores normales en el trimestre mayo-junio-julio 2026 (MJJ). El valor promedio de todos los modelos para dicho trimestre es de +0.9°C (Figura 11).

Official NOAA CPC ENSO Probabilities (issued April 2026)

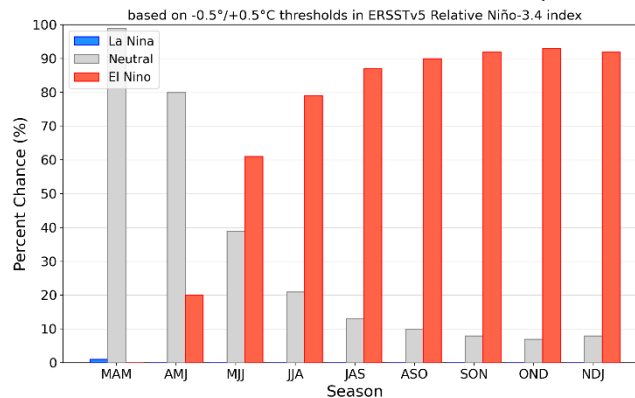


Figura 12 – Pronóstico probabilístico de anomalías de TSM en la región Niño 3.4. - Fuente: IRI.

Por otro lado, y expresado en valores probabilísticos, (Figura 12) hay alrededor de 60% de probabilidades de condiciones cálidas en la región Niño 3.4 en el trimestre MJJ 2026. Las chances de desarrollo de un evento El Niño se mantienen altas durante el resto del plazo de pronóstico.

¿CÓMO NOS AFECTA?

Esta sección será actualizada siempre que se encuentre activa alguna de las fases del ENOS

Más información en: https://www.smn.gob.ar/como_nos_afecta



Ministerio
de Defensa
República Argentina

Dorrego 4019 (C1425GBE) Buenos Aires . Argentina
Tel: (+54 11) 5167-6767 . smn@smn.gov.ar

www.smn.gov.ar

